ЭЛЕКТРИЧЕСКИЕ И МАГНИТНЫЕ СВОЙСТВА

УЛК 669.296'793'1:543.429.3

СВЕРХТОНКИЕ МАГНИТНЫЕ ПОЛЯ НА ЯДРАХ 57 Fe В ИНТЕРМЕТАЛЛИЧЕСКОЙ СИСТЕМЕ $\mathbf{Zr_{1-x}Sc_{x}Fe_{2}}$

© 2019 г. В. С. Русаков^{а, *}, В. С. Покатилов^b, Т. В. Губайдулина^a, М. Е. Мацнев^a

^а Московский государственный университет им. М.В. Ломоносова, 119991 Россия, Москва, Ленинские горы, 1 ^b МИРЭА — Российский технологический университет, 119454 Россия, Москва, Проспект Вернадского, 78

> *e-mail: rusakov@phys.msu.ru Поступила в редакцию 08.10.2018 г. После доработки 16.10.2018 г. Принята к публикации 01.11.2018 г.

Проведены мёссбауэровские исследования анизотропии сверхтонких взаимодействий (СТВ) ядер 57 Fe в квазибинарной интерметаллической системе $Zr_{1-x}Sc_xFe_2$ ($0 \le x \le 1$) со структурой кубической фазы Лавеса C15. В рамках тензорного описания анизотропии магнитных СТВ с учетом кристаллической и магнитной структуры сверхтонкие параметры парциальных спектров выражены через константу квадрупольного взаимодействия, изотропное и анизотропное магнитные поля, а также азимутальный и полярный углы, задающие ориентацию оси легчайшего намагничивания (ОЛН). Установлено, что при температурах 87 и 297 К ОЛН отклонена в плоскости ($1\overline{10}$) от кристаллографического направления [111] на $\sim 15^{\circ}$, и с ростом концентрации х ориентация ОЛН практически не меняется. Изменения изотропного поля и сдвига мессбауэровской линии носят аномальный характер. При увеличении x сначала наблюдается увеличение, а затем при x > 0.4 — уменьшение модуля изотропного поля. Сдвиг мёссбауэровской линии уменьшается с увеличением x, при этом наблюдается излом при $x \sim 0.4$. Такое аномальное поведение изотропного поля и сдвига коррелирует с изменением параметра кристаллической решетки и магнитного момента атомов Fe. Анизотропное поле линейно уменьшается по мере увеличения концентрации атомов Sc, а константа квадрупольного взаимодействия остается практически постоянной ~ 1 мм/с.

Ключевые слова: анизотропия сверхтонких взаимодействий, мёссбауэровская спектроскопия, фаза Лавеса C15, ось легчайшего намагничивания, сверхтонкие параметры спектра

DOI: 10.1134/S0015323019040119

ВВЕДЕНИЕ

Интерметаллические соединения стехиометрического состава RFe_2 (R-3d-, 4d- или 5d-элементы), кристаллизующиеся в структурных типах фаз Лавеса, являются прекрасными модельными объектами для исследования сверхтонких взаимодействий (СТВ) ядер 57 Fe. Наличие широких рядов твердых растворов замещения обоих компонентов предоставляют исследователям возможность изучать многообразие механизмов и особенностей СТВ, взаимосвязь параметров таких взаимодействий с локальными характеристиками вещества.

Известно большое число работ, посвященных исследованию СТВ в фазах Лавеса RFe $_2$ (см., напр., [1–9]). Однако механизмы СТВ изучены недостаточно. Отметим, в частности, такие нерешенные вопросы, как природа анизотропии магнитных СТВ, а также характер поведения параметров СТВ в процессе замещения одних компонентов другими. Существенным шагом в исследовании СТВ стало использование тензорного описания магнитных СТВ [2, 4, 6], которое позволяет непо-

средственно из мессбауэровских спектров получать все необходимые параметры СТВ и с большой точностью определять ориентацию оси легчайшего намагничивания (ОЛН).

Настоящая работа посвящена мёссбауэровским исследованиям анизотропии СТВ ядер ⁵⁷ Fe в квазибинарной интерметаллической системе $Zr_{1-x}Sc_xFe_2$ во всем интервале составов $0 \le x \le 1$ с привлечением данных рентгеновских и магнитных измерений.

МЕТОДИКА ЭКСПЕРИМЕНТА

Образцы системы $Zr_{1-x}Sc_xFe_2$ (x=0.0, 0.1, 0.2, 0.3, 0.4, 0.5, 0.6, 0.7, 0.8, 0.9, 1.0) выплавляли из смесей высокочистых металлов в атмосфере аргона в дуговой печи с водоохлаждаемым медным столом. Слитки размельчали и переплавляли несколько раз.

Рентгенографические измерения образцов показали, что образцы являются однофазными и имеют кубическую структуру типа $MgCu_2$ (C15). Мёссбауэровский эксперимент на ядрах ⁵⁷Fe проводили с использованием спектрометра MS-1104Em с азотным криостатом в геометрии на прохождение в режиме постоянных ускорений с треугольной формой временной зависимости доплеровской скорости движения источника относительно поглотителя. В качестве мёссбауэровского источника использовали ⁵⁷Co в матрице Rh. Калибровку осуществляли с помощью эталонного образца металлического α-Fe. Мёссбауэровские измерения проводили при комнатной температуре и температуре 87 K.

Модельная расшифровка экспериментальных спектров осуществлена методом наименьших квадратов с помощью программы SpectrRelax [10] в рамках тензорного подхода к описанию анизотропии СТВ ядер 57 Fe в соединениях RFe $_2$ с кубической структурой С15.

ТЕНЗОРНЫЙ ПОДХОД К ОПИСАНИЮ АНИЗОТРОПИИ СТВ

Исследованные соединения при температурах проведения мёссбауэровского эксперимента (RT и 87 К) находятся в магнитоупорядоченном состоянии и имеют структурный тип кубической фазы Лавеса С15 с пространственной группой симметрии $O_h^7 - Fd\overline{3}m$. Атомы железа в структуре этих соединений расположены в кристаллографически эквивалентных позициях 16(d) — в вершинах тетраэдров (точечная симметрия $\overline{3}m$) с инверсионными осями симметрии третьего порядка в направлениях [111], $[\overline{1}\overline{1}1]$, $[1\overline{1}\overline{1}]$ и $[\overline{1}\overline{1}\overline{1}]$. В связи с этим, в общем случае произвольной ориентации оси легчайшего намагничивания (ОЛН) позиции атомов Fe с различными ориентациями осей симметрии становятся неэквивалентными в магнитном отношении и в отношении СТВ. Из-за различных значений углов между направлением эффективного магнитного поля и главными осями тензора градиента электрического поля (ГЭП) в области расположения ядра параметры СТВ для атомов, расположенных в разных вершинах тетраэдра, становятся различными. В таком случае в экспериментальном мёссбауэровском спектре будут наблюдаться четыре (i = 1, 2, 3, 4) различных зеемановских секстета, сверхтонкие параметры которых – квадрупольные смещения компонент ${f \epsilon}^{(i)}$ и эффективные магнитные поля $H_n^{(i)}$ оказываются взаимосвязанными (см. рис. 1).

В соответствии с предложенным в [2, 4] подходом к описанию сверхтонких магнитных взаимодействий, позволяющим в явной форме учесть их анизотропный характер, представим сверхтонкое магнитное поле (СТМП) в области расположения ядра \mathbf{H}_n в тензорном виде:

$$\mathbf{H}_n = \mathbf{A} \cdot \mathbf{m}_{\mathrm{Fe}},\tag{1}$$

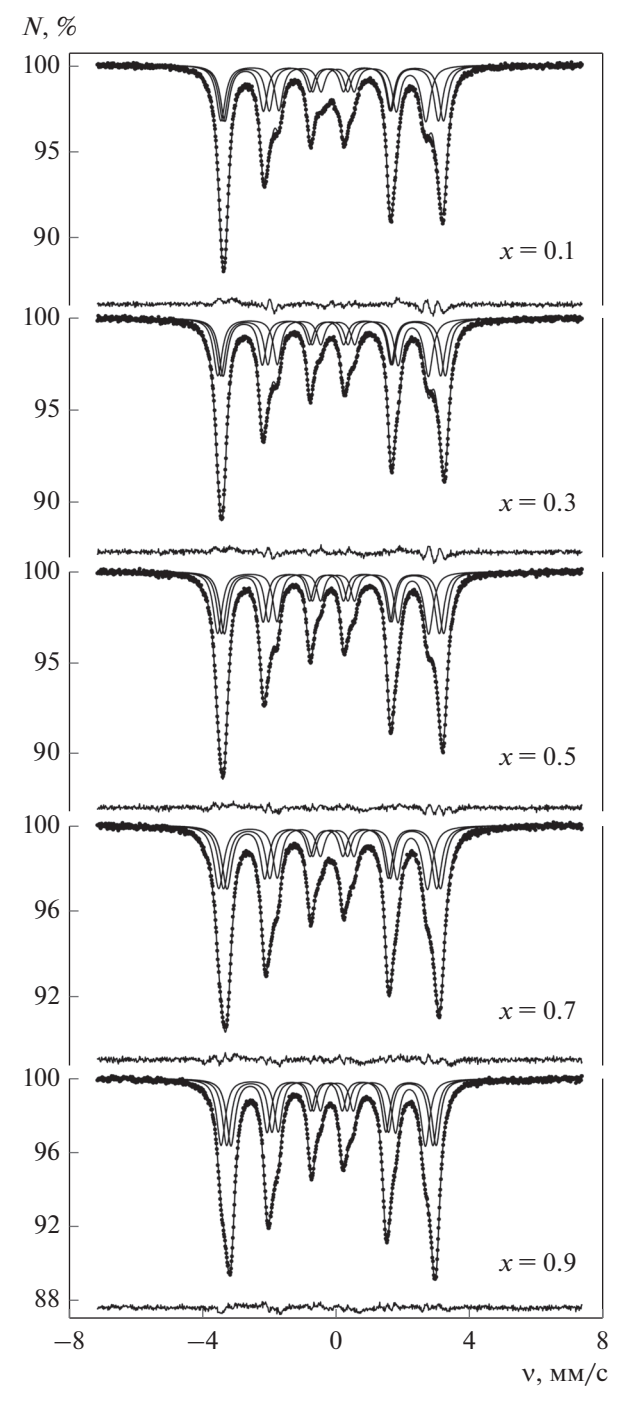


Рис. 1. Модельная расшифровка характерных мёссбауэровских спектров ядер 57 Fe в исследованных соединениях системы $Zr_{1-x}Sc_{x}Fe_{2}$, полученных при 297 K.

где \mathbf{m}_{Fe} — единичный вектор вдоль направления магнитного момента $\mathbf{\mu}_{\text{Fe}}$ атома железа, \mathbf{A} — тензор сверхтонких взаимодействий:

$$\mathbf{A} = \{A_{ij}\} = \begin{pmatrix} A_{x'} & 0 & 0 \\ 0 & A_{y'} & 0 \\ 0 & 0 & A_{z'} \end{pmatrix}. \tag{2}$$

Здесь тензор **A** представлен в своих собственных осях координат.

В общем случае поле \mathbf{H}_n можно представить в виде суммы двух вкладов — изотропного \mathbf{H}_{is} и анизотропного \mathbf{H}_{an} :

$$\mathbf{H}_n = \mathbf{H}_{is} + \mathbf{H}_{an}, \tag{3}$$

где \mathbf{H}_{an} — составляющая поля, проекция которой на направление \mathbf{m}_{Fe} при усреднении по всем возможным направлениям $\mathbf{\mu}_{Fe}$ дает нулевое значение:

$$\left\langle (\mathbf{H}_{\mathrm{an}}\mathbf{m}_{\mathrm{Fe}})\right\rangle = 0. \tag{4}$$

Изотропный вклад $H_{\rm is}$ в СТМП $H_{\rm n}$, определяется в основном контактным взаимодействием Ферми с локализованными на ядре s-электронами и коллективизированными электронами проводимости, поляризованными как магнитным моментом атома Fe, так и магнитными моментами окружающих атомов. Анизотропный вклад $H_{\rm an}$ обусловлен магнитным диполь-дипольным взаимодействием с локализованными магнитными моментами окружающих атомов и анизотропией сверхтонкого магнитного взаимодействия ядра с электронами катионного остова собственного атома.

При тензорном описании изотропная и анизотропная части поля H_n описываются соответствующими тензорами:

$$\mathbf{H}_{is} = \mathbf{A}_{is} \cdot \mathbf{m}_{Fe}, \quad \mathbf{H}_{an} = \mathbf{A}_{an} \cdot \mathbf{m}_{Fe}.$$
 (5)

При этом тензор СТВ **A** содержит изотропную \mathbf{A}_{is} и анизотропную \mathbf{A}_{an} составляющие:

$$\mathbf{A} = \mathbf{A}_{is} + \mathbf{A}_{an} = \mathbf{A}_{is}\mathbf{E} + \mathbf{A}_{an}\mathbf{S},\tag{6}$$

где $A_{\rm is}$ и $A_{\rm an}$ — изотропное и анизотропное поля, ${\bf E}$ — единичная матрица, ${\bf S}$ — тензор, след которого равен нулю:

$$Sp(S) = 0. (7)$$

С учетом изложенных формул изотропное и анизотропное поля равны:

$$A_{is} = (A_{x'} + A_{y'} + A_{z'})/3;$$

$$A_{an} = (2A_{z'} - A_{x'} - A_{y'})/6.$$
(8)

В результате применения тензорного формализма приходим к следующему представлению вкладов в СТМП в тензорном виде:

$$\mathbf{H}_{is} = A_{is}\mathbf{E} \cdot \mathbf{m}_{Fe}, \quad \mathbf{H}_{an} = A_{an}\mathbf{S} \cdot \mathbf{m}_{Fe}.$$
 (9)

В структуре R Fe $_2$ атомы железа расположены в вершинах тетраэдров с точечной симметрией $\overline{3}$ m и осями симметрии третьего порядка в направлениях [111], [$\overline{1}$ 11], [$\overline{1}$ 11] и [$\overline{1}$ 11].

С учетом точечной симметрии позиций атомов Fe в структуре RFe $_2$, тензор сверхтонких взаимодействий $\mathbf A$ задается лишь двумя независимыми компонентами:

$$A_{\perp} = A_{x'} = A_{y'}, A_{\parallel} = A_{z'}$$
 (10)

и в собственных осях координат имеет следующий вид:

$$\mathbf{A} = \begin{pmatrix} A_{\perp} & 0 & 0 \\ 0 & A_{\perp} & 0 \\ 0 & 0 & A_{\parallel} \end{pmatrix}. \tag{11}$$

При переходе к кристаллографическим осям форма представления тензора **A** окажется различной для четырех типов позиций атомов Fe:

$$\mathbf{A}^{(i)} = \mathbf{A}_{is} + \mathbf{A}_{an}^{(i)}. \tag{12}$$

При этом

$$\mathbf{A}_{is} = A_{is}\mathbf{E} = (A_{\parallel} + 2A_{\perp})/3 \cdot \mathbf{E}, \qquad (13)$$

$$\mathbf{A}_{\rm an}^{(i)} = A_{\rm an} \mathbf{S}^{(i)} = (A_{\parallel} - A_{\perp}) / 3 \cdot \mathbf{S}^{(i)}. \tag{14}$$

Вид матрицы $S^{(i)}$ зависит от направления локальной инверсионной оси симметрии третьего порядка для рассматриваемой позиции атома железа:

$$\mathbf{S}^{(1)} \equiv \mathbf{S}^{[111]} = \begin{pmatrix} 0 & 1 & 1 \\ 1 & 0 & 1 \\ 1 & 1 & 0 \end{pmatrix}; \tag{15}$$

$$\mathbf{S}^{(2)} \equiv \mathbf{S}^{[\overline{1}\overline{1}1]} = \begin{pmatrix} 0 & 1 & -1 \\ 1 & 0 & -1 \\ -1 & -1 & 0 \end{pmatrix}; \tag{16}$$

$$\mathbf{S}^{(3)} \equiv \mathbf{S}^{[1\,\overline{1}\,\overline{1}]} = \begin{pmatrix} 0 & -1 & -1 \\ -1 & 0 & 1 \\ -1 & 1 & 0 \end{pmatrix}; \tag{17}$$

$$\mathbf{S}^{(4)} \equiv \mathbf{S}^{[\bar{1}1\bar{1}]} = \begin{pmatrix} 0 & -1 & 1 \\ -1 & 0 & -1 \\ 1 & -1 & 0 \end{pmatrix}. \tag{18}$$

Все позиции атомов \dot{F} е в элементарной ячейке $R\dot{F}e_2$ эквивалентны в кристаллографическом отношении. Однако из-за различных ориентаций локальных осей симметрии в общем случае они не эквивалентны в отношении СТВ, и мессбауэровский спектр ядер $^{57}\dot{F}e$ представляет собой совокупность четырех секстетов, каждому из которых в общем случае соответствуют свои сверхтонкие параметры спектра: $\delta^{(i)}$, $\epsilon^{(i)}$ и $H_n^{(i)}$.

Поскольку в соединениях RFe $_2$ атомы Fe находятся в кристаллографически эквивалентных позициях, то несмотря на наличие малых искажений ($^{-10^{-3}}$), возникающих из-за спонтанной стрикции, можно считать сдвиги $\delta^{(i)}$ одинаковыми для всех позиций атомов железа: $\delta^{(i)} = \delta$.

Квадрупольное смещение $\varepsilon^{(i)}$ компонент спектров зависит от угла $\alpha^{(i)}$ между направлением сверхтонкого магнитного поля \mathbf{H}_n (практически совпадающего с ОЛН) и направлением градиента электрического поля:

$$\varepsilon^{(i)} = \frac{e^2 q Q}{4} \frac{3\cos^2 \alpha^{(i)} - 1}{2},\tag{19}$$

где e^2qQ — константа квадрупольного взаимодействия.

В общем случае углы $\alpha^{(i)}$ неодинаковы, поэтому смещение $\epsilon^{(i)}$ будет различно для разных положений атомов Fe. Если задать направление ОЛН углами φ и ϑ в полярной системе координат, то значение $\epsilon^{(i)}$ будет равно

$$\cos^{2} \alpha^{(i)} = \frac{1}{3} \frac{\left(1 + F^{(i)}\right) \left(1 + 4a_{\text{an}} + 4a_{\text{an}}^{2}\right)}{1 + 2F^{(i)}a_{\text{an}} + \left(2 + F^{(i)}\right)a_{\text{an}}^{2}},$$
 (20)

где

$$a_{\rm an} = A_{\rm an}/A_{\rm is} \,, \tag{21}$$

 $F^{(1)} = +\sin^2\vartheta\sin 2\varphi + \sin 2\vartheta\cos\varphi + \sin 2\vartheta\sin\varphi, (22)$ $F^{(2)} = +\sin^2\vartheta\sin 2\varphi - \sin 2\vartheta\cos\varphi - \sin 2\vartheta\sin\varphi, (23)$ $F^{(3)} = -\sin^2\vartheta\sin 2\varphi - \sin 2\vartheta\cos\varphi + \sin 2\vartheta\sin\varphi, (24)$ $F^{(4)} = -\sin^2\vartheta\sin 2\varphi + \sin 2\vartheta\cos\varphi - \sin 2\vartheta\sin\varphi, (25)$

Значения эффективного магнитного поля $H_n^{(i)}$ также будут различны для четырех позиций атомов Fe в структуре RFe₂:

$$H_{\rm n}^{(i)} = A_{\rm is} \left\{ 1 + 2F^{(i)}a_{\rm an} + \left[F^{(i)} + 2\right]a_{\rm an}^2\right\}^{1/2}.$$
 (26)

Для определения ориентации ОЛН и интересующих нас параметров СТВ необходимо знать их взаимосвязь с параметрами парциальных спектров. Поскольку для ядер 57 Fe в RFe $_2$ константа квадрупольного взаимодействия $e^2qQ \sim 1$ мм/с, необходимо учесть квадрупольное взаимодействие во втором порядке малости. В этом случае положение компонент зеемановских секстетов будут равны:

$$v_{1,6}^{(i)} = \delta + \varepsilon^{(i)} \mp a_{+}^{(i)} \mp \mu_{n} \frac{|g_{g}| + 3|g_{e}|}{2} H_{n}^{(i)}; \qquad (27)$$

$$v_{2,5}^{(i)} = \delta - \varepsilon^{(i)} \pm a_{-}^{(i)} \mp \mu_{n} \frac{|g_{g}| + |g_{e}|}{2} H_{n}^{(i)}; \qquad (28)$$

$$v_{3,4}^{(i)} = \delta - \varepsilon^{(i)} \mp a_{-}^{(i)} \mp \mu_{n} \frac{|g_{g}| - |g_{e}|}{2} H_{n}^{(i)}.$$
 (29)

Здесь $\mu_{\rm n}$ — ядерный магнетон, $g_{\rm g}$ и $g_{\rm e}$ — g-факторы основного и возбужденного состояний ядра и

$$a_{\pm}^{(i)} = \frac{3e^{2}qQ}{16} \frac{e^{2}qQ}{g_{e}\mu_{n}H_{n}^{(i)}} \times \left[\cos^{2}\alpha^{(i)} \pm \frac{\sin^{2}\alpha^{(i)}}{8}\right] \sin^{2}\alpha^{(i)}.$$
(30)

Как видим, учет априорной информации о кристаллической и магнитной структурах соединений типа RFe $_2$ в рамках тензорного описания анизотропии сверхтонких магнитных взаимодей-

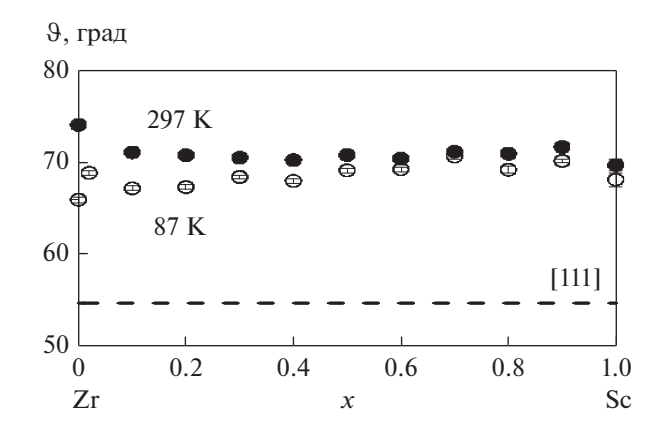


Рис. 2. Концентрационные зависимости полярного угла ϑ , задающего направление ОЛН в соединениях системы $\mathrm{Zr}_{1-x}\mathrm{Sc}_x\mathrm{Fe}_2$.

ствий позволяет существенно уменьшить число параметров, задающих положения компонент спектра. При этом все эти параметры — $\{\delta, e^2qQ, \varphi, \vartheta, A_{\rm is}, A_{\rm an}\}$ имеют физический смысл и являются, как правило, предметом поиска. Зная значения этих параметров, можно с помощью изложенных выше формул осуществить следующую цепочку преобразований:

$$\left\{\delta, e^2 q Q, \varphi, \vartheta, A_{is}, A_{an}\right\} \rightarrow \left\{\delta^{(i)}, \varepsilon^{(i)}, H_n^{(i)}\right\} \rightarrow \left\{\upsilon_j^{(i)}\right\}. (31)$$

РЕЗУЛЬТАТЫ И ОБСУЖДЕНИЕ

Обработка экспериментальных спектров осуществлена методом наименьших квадратов с помощью программы SpectrRelax [10] в рамках тензорного подхода к описанию анизотропии СТВ ядер ⁵⁷Fe в соединениях RFe₂ с кубической структурой С15. В результате удалось найти оптимальные значения интересующих нас физических величин — $\{\delta, e^2qQ, \varphi, \vartheta, A_{is}, A_{an}\}$.

Полученные значения полярного угла ϑ показывают, что в соединениях системы $Zr_{1-x}Sc_xFe_2$ ОЛН отклонена от кристаллографического направления [111] на \sim 15° и лежит в плоскости (1 $\overline{10}$) (ϕ = 45°). При этом ориентация ОЛН практически не изменяется с ростом концентрации атомов Sc (см. рис. 2).

На рис. 3 представлены концентрационные зависимости изотропного $A_{\rm is}$ и анизотропного $A_{\rm an}$ сверхтонких магнитных полей на ядрах ⁵⁷Fe в соединениях ${\rm Zr_{1}}_{-x}{\rm Sc_{x}Fe_{2}}$. Для соединений $R{\rm Fe_{2}}$ с кубической структурой фаз Лавеса C15 анизотропное поле в соответствии с (3), (9) и (15)—(18) равно среднему по четырем неэквивалентным в отношении CTB позициям атомов Fe сверхтонкому магнитному полю:

$$\bar{\mathbf{H}}_n = \mathbf{H}_{is} = A_{is} \mathbf{m}_{Fe}. \tag{32}$$

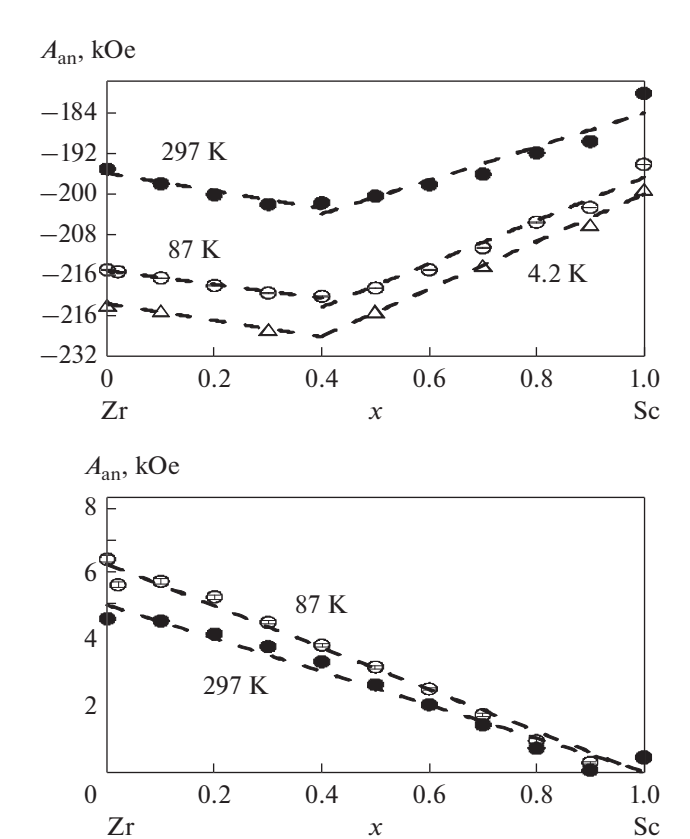
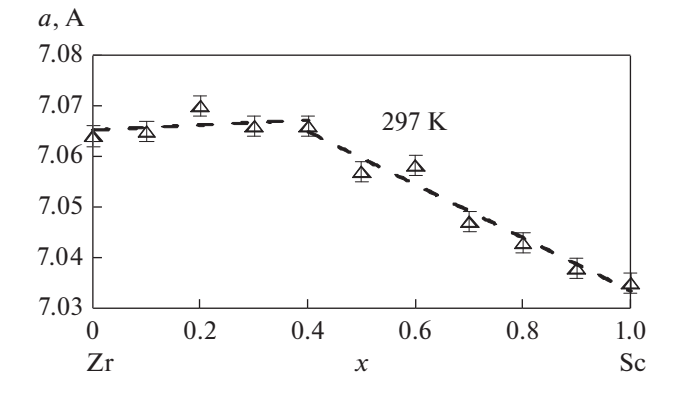


Рис. 3. Концентрационные зависимости изотроп-ного $A_{\rm is}$ и анизотропного $A_{\rm an}$ сверхтонких магнитных полей для спектров ядер ⁵⁷ Fe в соединениях $Zr_{1-x}Sc_xFe_2$.

Поэтому на рис. 3 представлена также концентрационная зависимость среднего СТМП \overline{H}_n , полученная при 4.2 К с помощью ЯМР [3]. Как видим, изменение изотропного $A_{\rm is}$ (и среднего \overline{H}_n) поля носит аномальный характер: при увеличении концентрации атомов Sc в системе сначала (при $0 \le x \le 0.4$) наблюдается увеличение, а затем (при $0.4 \le x \le 1$) — уменьшение модуля изотропного поля (рис. 3).

Отметим, что согласно данным рентгеновских исследований системы $Zr_{1-x}Sc_xFe_2$, такое поведение изотропного поля A_{is} коррелирует с изменением параметра кристаллической решетки a [3], который слабо возрастает в интервале концентраций атомов Sc $0 \le x \le 0.4$ и заметно уменьшаются в интервале концентраций $0.4 \le x \le 1$ (см. рис. 4). Известно, что для фаз Лавеса с кубической структурой при увеличении межатомного расстояния между ближайшими атомами железа (при расширении решетки) магнитный момент на атомах железа увеличивается почти линейно. Этот эффект наблюдается и для системы $Zr_{1-x}Sc_xFe_2$ (см. рис. 4).

Наличие корреляции в поведении изотропного поля $A_{\rm is}$ и магнитного момента $\mu_{\rm Fe}$ атома Fe (ср. рис. 3 и рис. 4) подтверждает, что одним из основ-



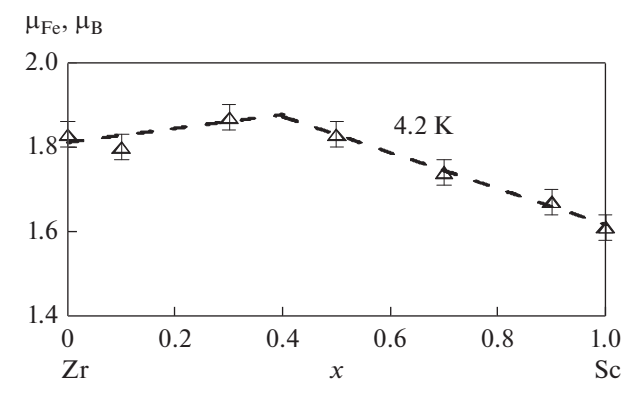
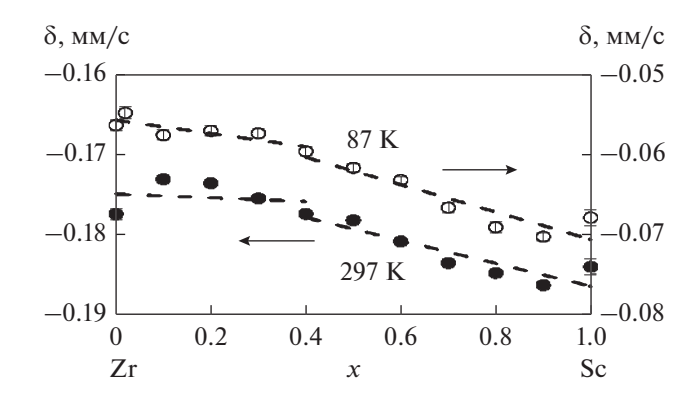


Рис. 4. Концентрационные зависимости параметра элементарной ячейки a (при 297 K) и магнитного момента μ_{Fe} атома Fe (при 4.2 K) для соединений системы $Zr_{1-x}Sc_xFe_2$ [3].

ных механизмов формирования изотропного поля $A_{\rm is}$ является контактное взаимодействие Ферми с локализованными на ядре s-электронами и коллективизированными электронами проводимости, поляризованными магнитным моментом атома Fe.

Что касается анизотропного поля $A_{\rm an}$, то оно практически линейно уменьшается (рис. 3) с увеличением концентрации атомов Sc. Попытка объяснить наблюдаемое поведение анизотропного поля магнитным диполь-дипольным взаимодействием с локализованными магнитными моментами окружающих атомов не увенчалась успехом. По-видимому, как и в случае других соединений типа RFe_2 [2], в данном случае существенную роль играет анизотропия сверхтонкого магнитного взаимодействия ядра с электронами катионного остова собственного атома.

Модельная расшифровка мессбауэровских спектров системы $Zr_{1-x}Sc_xFe_2$ показала, что по мере увеличения концентрации Sc в образцах наблюдается уменьшение сдвига мёссбауэровской линии δ как при комнатной температуре, так и при T=87 К. Причем в области x=0.4 эти зависимости претерпевают излом (см. рис. 5), что коррелирует с концентрационной зависимостью пара-



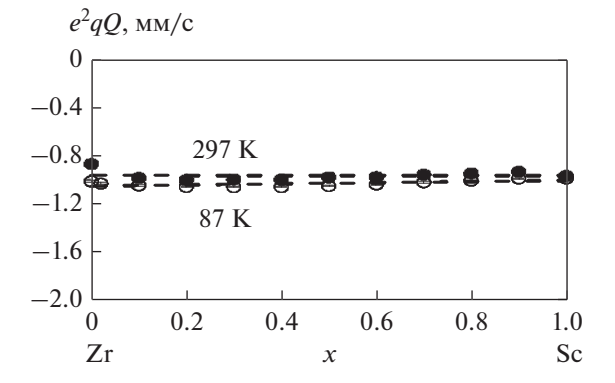


Рис. 5. Концентрационные зависимости сдвига мёссбауэровской линии δ и константы квадрупольного взаимодействия e^2qQ для соединений системы $Zr_{1-x}Sc_xFe_2$.

метра кристаллической решетки a (рис. 4). При этом константа квадрупольного взаимодействия e^2qQ остается практически постоянной ~1 мм/с во всем интервале концентраций Sc (рис. 5).

ОСНОВНЫЕ РЕЗУЛЬТАТЫ И ВЫВОДЫ

В рамках тензорного подхода к описанию анизотропии магнитных сверхтонких взаимодействий ядер 57 Fe найдены оптимальные значения интересующих нас физических величин $\{\delta, e^2qQ, \phi, \vartheta, A_{\rm is}, A_{\rm an}\}$ для всех исследованных соединений системы $Zr_{1-x}Sc_xFe_2$.

Обнаружено, что изменение изотропного магнитного поля $A_{\rm is}$ и сдвига мёссбауэровской линии δ как при комнатной температуре, так и при $T=87~{\rm K}$ с ростом концентрации атомов Sc носит аномальный характер: в области x=0.4 зависимости $\delta(x)$ и $A_{\rm is}(x)$ претерпевают излом. При этом с увеличением концентрации атомов Sc поле $A_{\rm is}$ сначала убывает и затем возрастает, а сдвиг δ убывает во всем диапазоне концентраций.

Установлена корреляция концентрационных зависимостей сверхтонких параметров $A_{\rm is}(x)$ и

 $\delta(x)$ с данными рентгеновских и магнитных измерений.

Показано, что анизотропное поле $A_{\rm an}$ практически линейно уменьшается по мере увеличения концентрации Sc.

Установлено, что константа квадрупольного взаимодействия e^2qQ остается практически постоянной ~ 1 мм/с во всем интервале концентраций атомов Sc.

Выявлено, что ОЛН отклонена от направления [111] на $\sim 15^{\circ}$ и лежит в плоскости (1 $\overline{10}$), при этом ориентация ОЛН практически не изменяется с ростом концентрации атомов Sc.

СПИСОК ЛИТЕРАТУРЫ

- Raj P., Kulshreshtha S.K. Magnetically induced quadrupole interactions and anisotropic hyperfine fields at Fesites in RFe₂-compounds // J. Physique. 1980. V. 41. P. 1487–1494.
- Meyer C., Hartmann-Boutron F., Gros Y., Berthier Y., Buevoz J.L. Detailed study of NdFe₂ and additional results relative to PrFe₂ and YbFe₂. Comparison with other R.E.Fe₂ compounds // J. Physique. 1981. V. 42. P. 605–620.
- 3. Покатилов В.С., Голикова В.В., Сидохин Е.Ф. Сверхтонкие поля и магнитные моменты в интерметаллических соединениях Лавеса с кубической структурой $\operatorname{Sc}_{1-x}\operatorname{Zr}_x\operatorname{Fe}_2(0 \le x \le 1)$ // ЖЭТФ. 1989. Т. 95. С. 2079—2089.
- 4. *Николаев В.И.*, *Русаков В.С.*, *Солодченкова Т.Б.* Кинетика спиновой переориентации при наличии анизотропии сверхтонких взаимодействий // Изв. АН СССР. Сер. Физическая. 1990. Т. 54. № 9. С. 1681—1685.
- 5. *Pokatilov V.S.* Hyperfine fields and magnetic moments in Laves phase compounds RFe₂ (R = Sc, Y, Zr, Gd, Ce, Lu) // JMMM. 1998. V. 189. P. 189–194.
- 6. *Русаков В.С.* Мессбауэровская спектроскопия локально неоднородных систем. Алматы: ИЯФ НЯЦ РК, 2000. 431 с.
- 7. *Покатилов В.С.* Сверхтонкие взаимодействия в кубических сплавах Лавеса Sc_{1 x}Y_xFe₂ // ЖЭТФ. 2003. Т. 123. № 1. С. 71—78.
- 8. Wiertel M., Surowiec Z., Budzyński M., Sarzyński J., Beskrovnyi A.I. Magnetic and structural properties of Sc(Fe_{1 x}Si_x)₂ Laves phases studied by Mössbauer spectroscopy and neutron diffrac-tion // Nukleonika. 2015. V. 60. P. 155–160.
- 9. Вершини А.В., Наумов С.П., Сериков В.В., Клейнерман Н.М., Мушников Н.В., Русаков В.С. Параметры сверхтонкого взаимодействия и магнитный фазовый переход антиферромагнетик—ферромагнетик В $Ce(Fe_{1-x}Si_x)_2$ // ФММ. 2016. Т. 117. № 12. С. 1234—1240.
- Matsnev M.E., Rusakov V.S. SpectrRelax: an application for Mössbauer spectra modelling and fitting // AIP Conference Proceedings. 2012. V. 1489. P. 178–185.